Electromagnétisme des milieux matériels

Bibliographie:

- BFR, électromagnétisme IV, milieux matériels
- Jackson, électrodynamique classique
- Kittel, physique de l'état solide
- Perez, électromagnétisme
- Hprépa, PSI-PSI* électronique II

Ch1 - Les diélectriques

Ch2 - Les milieux magnétiques

Ch 1 – Milieux diélectriques

I - Introduction

Action d'un champ électrique sur la matière

Milieu conducteur:

Possède des charges libres. Le champ électrique y est nul en régime permanent.

Milieu isolant ou diélectrique:

Localement neutre, peut être traversé par un champ électrique.

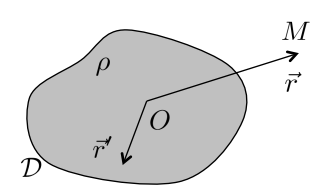
Un champ électrique extérieur le polarise en déplaçant légèrement les charges liées.

<u>En général:</u> la réponse n'est non nulle que si le champ électrique est non nul (polarisation induite).

Les milieux ferro-électriques (rares) ont une polarisation spontanée.

II - Polarisation

1) Moment dipolaire d'une distribution de charge



Potentiel électrique :

$$V(M) = \frac{1}{4\pi\epsilon_0} \iiint_{\vec{r'} \in \mathcal{D}} \frac{\rho(\vec{r'})}{|\vec{r} - \vec{r'}|} d\tau$$

Charge globale:
$$Q = \iiint_{\vec{r}' \in \mathcal{D}} \rho(\vec{r}') d\vec{r}$$

$$\underline{\text{Moment dipolaire}}: \ \vec{\mathcal{P}} = \iiint_{\vec{r}' \in \mathcal{D}} \rho(\vec{r}') \vec{r}' d\tau \qquad \quad \text{[Debye]} \quad 1 \ \mathrm{D} = 0.33 \ 10^{-29} \ \mathrm{c.m}$$

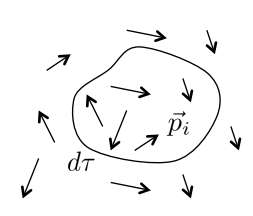
[Debye]
$$1 D = 0.33 10^{-29} \text{ c.m}$$

Quantité intrinsèque si Q=0.

Charges ponctuelles
$$\rho(\vec{r}) = \sum q_i \delta(\vec{r} - \vec{r_i}) \qquad \vec{\mathcal{P}} = \sum q_i \vec{r_i}$$

Ch 1 – Milieux diélectriques

2) Polarisation volumique



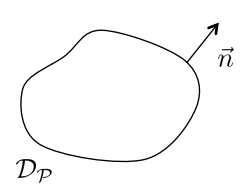
Ensemble de dipôles moléculaires $\vec{p_i}$

Description de type milieu continu $\ \vec{P}(\vec{r},t) = rac{\sum_{i \in d au} \vec{p_i}}{d au}$

Moyenne sur un volume mésoscopique

$$[P] = \text{c.m}^{-2}$$
 $[P] = \text{A.s.m}^{-2} \text{S.I.}$

3) Potentiel créé par la matière polarisée



Le milieu est localement neutre

$$V(M) = \frac{1}{4\pi\epsilon_0} \iiint_{\vec{r}' \in \mathcal{D}_{\mathcal{P}}} \vec{P}(\vec{r}') \cdot \frac{\vec{r} - \vec{r}'}{|\vec{r} - \vec{r}'|^3} d\tau$$

Identique au potentiel créé par la distribution de charges fictives

volumique
$$\vec{\nabla} \cdot \vec{\nabla} \cdot \vec{\nabla}$$

 $\begin{array}{ll} \mbox{volumique} & \mbox{surfacique} \\ \rho_{\rm li\acute{e}} = -\vec{\nabla} \cdot \vec{P} & \mbox{} \sigma_{\rm li\acute{e}} = -\vec{P} \cdot \vec{n} \end{array}$

Démonstration :
$$V(M) = \frac{1}{4\pi\epsilon_0} \iiint_{\vec{r}' \in \mathcal{D}_{\mathcal{D}}} \vec{P}(\vec{r}') \cdot \frac{\vec{r} - \vec{r}'}{|\vec{r} - \vec{r}'|^3} d\tau$$

On écrit:

$$\vec{P}(\vec{r'}) \cdot \frac{\vec{r} - \vec{r'}}{|\vec{r} - \vec{r'}|^3} = \vec{P}(\vec{r'}) \cdot \vec{\nabla}' \frac{1}{|\vec{r} - \vec{r'}|} = \vec{\nabla}' \cdot \frac{\vec{P}(\vec{r'})}{|\vec{r} - \vec{r'}|} - \frac{\vec{\nabla}' \cdot \vec{P}(\vec{r'})}{|\vec{r} - \vec{r'}|}$$

L'intégrale devient :

$$V(\vec{r}) = \frac{1}{4\pi\epsilon_0} \iiint_{\vec{r}' \in \mathcal{D}_{\mathcal{P}}} \frac{-\vec{\nabla}' \cdot \vec{P}(\vec{r}')}{|\vec{r} - \vec{r}'|} d\tau + \frac{1}{4\pi\epsilon_0} \iiint_{\vec{r}' \in \mathcal{D}_{\mathcal{P}}} \vec{\nabla}' \cdot \frac{\vec{P}(\vec{r}')}{|\vec{r} - \vec{r}'|} d\tau$$

Le second terme est une intégrale de surface

$$V(\vec{r}) = \frac{1}{4\pi\epsilon_0} \iiint_{\vec{r}' \in \mathcal{D}_{\mathcal{P}}} \frac{-\vec{\nabla}' \cdot \vec{P}(\vec{r}'')}{|\vec{r} - \vec{r}'|} d\tau + \frac{1}{4\pi\epsilon_0} \oiint_{\vec{r}' \in \partial \mathcal{D}_{\mathcal{P}}} \frac{\vec{P}(\vec{r}') \cdot \vec{n}}{|\vec{r} - \vec{r}'|} dS$$

Tout se passe comme si le champ était créé par les distributions de charges de volume et de surface

$$ho_{
m li\acute{e}} = - ec{
abla} \cdot ec{P} \qquad \qquad \sigma_{
m li\acute{e}} = ec{P} \cdot ec{n}$$

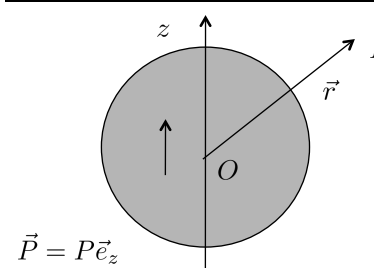
Ch 1 – Milieux diélectriques

4) Champ créé par une plaque uniformément polarisée

$$z$$
 $\vec{P} = \vec{P}_{\parallel} + P_z \vec{e}_z$ $2e$ $\vec{P}_{\perp} = P_z \vec{e}_z$

Montrer que le champ est nul en dehors de la plaque, et que $\ \vec{E} = -rac{\vec{P}_{\perp}}{\epsilon_0} \quad |z| < e$

5) Calcul direct : champ créé par une sphère uniformément polarisée



$$M$$

$$V(M) = \frac{1}{4\pi\epsilon_0} \iiint_{\vec{r}' \in \mathcal{D}_{\mathcal{P}}} \vec{P}(\vec{r}') \cdot \frac{\vec{r} - \vec{r}'}{|\vec{r} - \vec{r}'|^3} d\tau$$

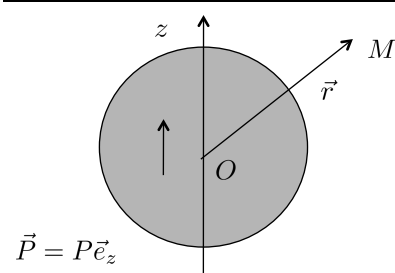
$$V(M) = \vec{P}(\vec{r}') \cdot \frac{1}{4\pi\epsilon_0} \iiint_{\vec{r}' \in \mathcal{D}_{\mathcal{P}}} \frac{\vec{r} - \vec{r}'}{|\vec{r} - \vec{r}'|^3} d\tau$$

 $ec{E}_1 = E_1(r) ec{e}_r$, champ créé par une boule de densité de charge 1

$$\vec{E} = -\vec{\nabla}V = \frac{1}{4\pi\epsilon_0 r^3} (3(\vec{\mathcal{P}} \cdot \hat{r})\hat{r} - \hat{r}) \qquad \hat{r} = \frac{\vec{r}}{r}$$

Champ et potentiel créé par un dipôle placé au centre de la sphère

5) Calcul direct : champ créé par une sphère uniformément polarisée



$$V(M) = \frac{1}{4\pi\epsilon_0} \iiint_{\vec{r}' \in \mathcal{D}_{\mathcal{P}}} \vec{P}(\vec{r}') \cdot \frac{\vec{r} - \vec{r}'}{|\vec{r} - \vec{r}'|^3} d\tau$$

$$V(M) = \vec{P}(\vec{r}') \cdot \frac{1}{4\pi\epsilon_0} \iiint_{\vec{r}' \in \mathcal{D}_{\mathcal{P}}} \frac{\vec{r} - \vec{r}'}{|\vec{r} - \vec{r}'|^3} d\tau$$

 $ec{E}_1 = E_1(r) ec{e}_r$, champ créé par une boule de densité de charge 1

Intérieur : montrer que

$$\vec{E}_1 = \frac{\vec{r}}{3\epsilon_0} \qquad V(r) = \frac{\vec{\mathcal{P}} \cdot \vec{r}}{3\epsilon_0}$$

$$\vec{E} = -\vec{\nabla}V = -\frac{\vec{\mathcal{P}}}{3\epsilon_0}$$

$$\vec{E} = -\vec{\nabla}V = -\frac{\vec{\mathcal{P}}}{3\epsilon_0}$$

La relation entre champ créé et polarisation est non locale, elle est entièrement pilotée par les conditions aux limites.

6) Courant de polarisation*

La polarisation est due au déplacement des charges sous l'action d'un champ extérieur

$$\vec{P} = \sum n_i q_i \vec{s}_i \qquad \begin{array}{c} n_i \\ \vec{s}_i \end{array}$$

densité volumique locale du porteur de charge i

déplacement moyenné sur un volume mésoscopique

En régime variable, il apparaît un courant de polarisation

$$\vec{j}_{
m li\acute{e}} = \sum n_i q_i \vec{v_i} = rac{\partial \vec{P}}{\partial t}$$

Cette relation vérifie la conservation de la charge

$$\frac{\partial \rho_{\text{li\'e}}}{\partial t} + \vec{\nabla} \cdot \vec{j}_{\text{li\'e}} = 0$$

Relation plus générale
$$ec{j}_{ ext{li\'e}} = rac{\partial ec{P}}{\partial t} + ec{
abla} imes ec{M}$$
 (contribution magnétique)

Ch 1 – Milieux diélectriques

II – Charge et courant de polarisation**

La polarisation volumique est définie par lissage de la distribution microscopique de dipôles.

Les équations de maxwell sont valables à l'échelle microscopique. Les champs e et b varient à l'échelle de la maille atomique.

$$\vec{\nabla} \times \vec{e} = -\frac{\partial \vec{b}}{\partial t}$$

$$\vec{\nabla} \times \vec{e} = -\frac{\partial \vec{b}}{\partial t} \qquad \qquad \vec{\nabla} \times \vec{b} = \mu_0 \vec{j}_{\text{micro}} + \mu_0 \epsilon_0 \frac{\partial \vec{e}}{\partial t}$$

$$\vec{\nabla} \cdot \vec{e} = \frac{\rho_{\text{micro}}}{\epsilon_0} \qquad \qquad \vec{\nabla} \cdot \vec{b} = 0$$

$$\vec{\nabla} \cdot \vec{b} = 0$$

Champs macroscopiques (lissés)

$$\vec{B}(\vec{r},t) = \langle \vec{b} \rangle_{\sigma} = \iiint_{\infty} \vec{b}(\vec{r}',t) \ W_{\sigma}(\vec{r} - \vec{r}') d\tau$$

$$\vec{E}(\vec{r},t) = \langle \vec{e} \rangle_{\sigma} = \iiint_{\infty} \vec{e}(\vec{r}',t) \ W_{\sigma}(\vec{r} - \vec{r}') d\tau$$

Fenêtre de lissage

$$W_{\sigma}(\vec{r}) = A \exp\left(-\frac{r^2}{2\sigma^2}\right)$$

 σ échelle mésoscopique

Propriétés de commutations :

$$\frac{\partial \langle e_j \rangle_{\sigma}}{\partial t} = \iiint_{\infty} \frac{\partial e_j(\vec{r}')}{\partial t} \ W_{\sigma}(\vec{r} - \vec{r}') d\tau = \left\langle \frac{\partial e_j}{\partial t} \right\rangle_{\sigma}$$

$$\frac{\partial \langle e_j \rangle_{\sigma}}{\partial x_j} = \left\langle \frac{\partial e_j}{\partial x_j} \right\rangle_{\sigma}$$

Equations de Maxwell macroscopiques

$$\langle \vec{\nabla} \times \vec{e} \rangle = - \langle \frac{\partial \vec{b}}{\partial t} \rangle \qquad \Leftrightarrow \qquad \vec{\nabla} \times \vec{E} = - \frac{\partial \vec{B}}{\partial t}$$

$$\begin{split} \langle \vec{\nabla} \cdot \vec{e} \rangle &= \frac{\langle \rho_{\rm micro} \rangle}{\epsilon_0} & \Leftrightarrow & \vec{\nabla} \cdot \vec{E} &= \frac{\langle \rho_{\rm micro} \rangle}{\epsilon_0} \\ \langle \vec{\nabla} \cdot \vec{b} \rangle &= 0 & \Leftrightarrow & \vec{\nabla} \cdot \vec{B} &= 0 \end{split}$$

$$\langle \vec{\nabla} \cdot \vec{b} \rangle = 0 \qquad \Leftrightarrow \qquad \vec{\nabla} \cdot \vec{B} = 0$$

$$\langle \vec{\nabla} \times \vec{b} \rangle = \mu_0 \langle \vec{j}_{\text{micro}} \rangle + \mu_0 \epsilon_0 \langle \frac{\partial \vec{e}}{\partial t} \rangle \qquad \Leftrightarrow \qquad \vec{\nabla} \times \vec{B} = \mu_0 \langle \vec{j}_{\text{micro}} \rangle + \mu_0 \epsilon_0 \frac{\partial \vec{E}}{\partial t}$$

Ch 1 – Milieux diélectriques

Il apparaît la densité de charge lissée et le courant lissé. On fait la différence entre charges libres et charges liées.

$$\langle \rho_{\rm micro} \rangle = \rho_{\rm libre} + \rho_{\rm li\acute{e}}$$

Contrôlable avec Réponse de la un générateur

$$\rho_{\rm li\acute{e}} = -\vec{\nabla} \cdot \vec{P} + \dots$$

$$\begin{split} \langle \vec{j}_{\rm micro} \rangle &= \vec{J}_{\rm libre} + \vec{J}_{\rm li\acute{e}} \\ \gamma \vec{E} & \vec{J}_{\rm li\acute{e}} &= \frac{\partial \vec{P}}{\partial t} + \vec{\nabla} \times \vec{M} + \dots \end{split}$$

Loi d'Ohm

Partie diélectrique + partie magnétique

Lissage direct de la densité microscopique de charges

Position de chaque atome $\vec{r_i}$

Position des charges liées à chaque atome $\ ec{\xi}_{ilpha}$

$$\rho_{\text{li\'e}} = \sum_{i} \sum_{\alpha} q_{i\alpha} \ \delta(\vec{r} - \vec{r_i} - \vec{\xi}_{i\alpha})$$

Chaque site est localement neutre $\sum q_{i\alpha} = 0$

Moment dipolaire locale de chaque site $\ \vec{p_i} = \sum q_{i\alpha} \vec{\xi}_{i\alpha}$

 $ec{P}_{
m li\acute{e}} = \sum_i ec{p}_i \,\, \delta(ec{r} - ec{r}_i)$ Polarisation microscopique

 $\langle
ho_{
m li\'e}
angle = \sum_{i} \sum_{lpha} q_{ilpha} W_{\sigma}(\vec{r} - \vec{r}_{i} - \vec{\xi}_{ilpha})$ Densité macroscopique

 $ec{P} = \langle ec{P}_{
m li\'e}
angle = \sum_i ec{p}_i \,\, W_{\sigma}(ec{r} - ec{r}_i)$ Polarisation macroscopique

Ch 1 – Milieux diélectriques

Il y a une séparation d'échelles : $\sigma \gg |\vec{\xi}_{i\alpha}|$

 $W_{\sigma}(\vec{r} - \vec{r}_i - \vec{\xi}_{i\alpha}) \simeq W_{\sigma}(\vec{r} - \vec{r}_i) - \vec{\xi}_{i\alpha} \cdot \vec{\nabla} W_{\sigma}(\vec{r} - \vec{r}_i) + \dots$

$$\langle \rho_{\text{li\'e}} \rangle \simeq \sum_{i} \left(\sum_{\alpha} q_{i\alpha} \right) W_{\sigma}(\vec{r} - \vec{r}_{i}) - \sum_{i} \left(\sum_{\alpha} q_{i\alpha} \vec{\xi}_{i\alpha} \right) \cdot \vec{\nabla} W_{\sigma}(\vec{r} - \vec{r}_{i}) + \dots$$

$$= 0 \qquad \qquad = \vec{p}_{i}$$

Identité vectorielle

$$\vec{p}_i \cdot \vec{\nabla} \ W_{\sigma}(\vec{r} - \vec{r}_i) = \vec{\nabla} \cdot (\vec{p}_i \ W_{\sigma}(\vec{r} - \vec{r}_i)) + W_{\sigma}(\vec{r} - \vec{r}_i) \ \vec{\nabla} \cdot \vec{p}_i$$

$$= 0$$

$$\langle \rho_{\text{li\'e}} \rangle \simeq -\vec{\nabla} \cdot \left(\sum_i \vec{p}_i \ W_{\sigma}(\vec{r} - \vec{r}_i) \right)$$

$$(\rho_{\text{li\'e}} \rangle \simeq -\vec{\nabla} \cdot \vec{P}$$

Remarque, à l'ordre 2 : $\langle \rho_{\mathrm{li\'e}} \rangle = - \vec{\nabla} \cdot (\vec{P} - \frac{1}{2} \vec{\nabla} \cdot \overline{\overline{Q}})$

 $Q_{kl}=\sum_i\sum_{lpha}q_{ilpha}(\xi_{ilpha})_k(\xi_{ilpha})_lW_{\sigma}(ec{r}-ec{r}_i)$ Tenseur quadrupolaire électrique

Lissage direct du courant microscopique de charges

 $\text{Courant de charge li\'e} \qquad \vec{j}_{\text{li\'e}} = \sum_{i} \sum_{\alpha} q_{i\alpha} \dot{\vec{\xi}}_{i\alpha} \; \delta(\vec{r} - \vec{r_i} - \vec{\xi}_{i\alpha}) \qquad \qquad (|\dot{\vec{\xi}}_{i\alpha}| \gg |\dot{\vec{r}}_{i}|)$

Courant de charge macroscopique

$$ec{J}_{
m li\acute{e}} = \langle ec{j}_{
m li\acute{e}}
angle = \sum_{i} \sum_{lpha} q_{ilpha} \dot{ec{\xi}}_{ilpha} \; W_{\sigma} (ec{r} - ec{r}_{i} - ec{\xi}_{ilpha})$$

On développe

$$\begin{split} \vec{J}_{\mathrm{li\acute{e}}} &= \sum_{i} \left(\sum_{\alpha} q_{i\alpha} \dot{\vec{\xi}}_{i\alpha} \right) \ W_{\sigma}(\vec{r} - \vec{r}_{i}) - \sum_{i} \sum_{\alpha} q_{i\alpha} \dot{\vec{\xi}}_{i\alpha} (\vec{\xi}_{i\alpha} \cdot \vec{\nabla}) \ W_{\sigma}(\vec{r} - \vec{r}_{i}) \\ &\qquad \qquad \qquad \frac{\partial \vec{P}}{\partial t} \end{split}$$
 Terme d'ordre 2

Le courant de polarisation est un effet d'ordre 1 (dipolaire)

La partie magnétique est du même ordre que le quadrupôle électrique

Ch 1 – Milieux diélectriques

En développant à l'ordre 2 :

$$\langle \rho_{\text{li\'e}} \rangle = -\vec{\nabla} \cdot (\vec{P} - \frac{1}{2} \vec{\nabla} \cdot \overline{\overline{Q}})$$

$$\vec{L}_{\text{tr}} = \partial \vec{P} + \vec{\nabla} \times \vec{M} = 1 \partial \vec{\nabla} \cdot \overline{\bar{Q}}$$

$$\vec{J}_{\text{li\'e}} = \frac{\partial \vec{P}}{\partial t} + \vec{\nabla} \times \vec{M} - \frac{1}{2} \frac{\partial \vec{\nabla} \cdot \overline{Q}}{\partial t}$$

$$\vec{M} = \sum_i \vec{m}_i \ W_\sigma(\vec{r} - \vec{r_i}) \qquad \text{Aimantation volumique (ch.2)} \quad \vec{m}_i = \frac{1}{2} \sum_\alpha q_{i\alpha} \ \vec{\xi}_{i\alpha} \times \dot{\vec{\xi}}_{i\alpha}$$

 $Q_{kl}=\sum_i\sum_{lpha}q_{ilpha}(\xi_{ilpha})_k(\xi_{ilpha})_lW_{\sigma}(\vec{r}-\vec{r_i})$ Tenseur quadrupolaire électrique

L'expérience montre que les effets magnétiques et électriques sont découplés

$$P = P(E)$$
 $Q = Q(E)$ $M = M(B)$

-On a toujours $|\vec{P}|\gg |\vec{\nabla}\cdot\overline{\overline{\overline{Q}}}|$

-Dans certaines situations $\ |\vec{\nabla} \times \vec{M}| \gg |\frac{\partial \vec{P}}{\partial t}|$

III - Excitation électrique et excitation magnétique

Equations de maxwell dans la matière

$$\vec{\nabla} \times \vec{E} = -\frac{\partial \vec{B}}{\partial t} \qquad \qquad \vec{\nabla} \cdot \vec{B} = 0$$

$$\vec{\nabla} \cdot \vec{B} = 0$$

$$\vec{\nabla} \cdot (\epsilon_0 \vec{E} + \vec{P}) = \rho_{\text{libre}}$$

$$\vec{\nabla} \cdot (\epsilon_0 \vec{E} + \vec{P}) = \rho_{\text{libre}} \qquad \qquad \vec{\nabla} \times \left(\frac{\vec{B}}{\mu_0} - \vec{M} \right) = \vec{J}_{\text{libre}} + \frac{\partial (\epsilon_0 \vec{E} + \vec{P})}{\partial t}$$

On définit l'excitation électrique $\ \vec{D} = \epsilon_0 \vec{E} + \vec{P}$

et l'excitation magnétique $\ \vec{H}=rac{\vec{B}}{\mu_0}-\vec{M}$

Ils contiennent la réponse de la matière

A ce stade, rien n'est fait. Il faut des relations constitutives pour fermer le système.

Ch 1 – Milieux diélectriques

IV – Polarisation induite

1 – Susceptibilité électrique (statique)

Un isolant plongé dans un champ électrique se polarise. Dans le cas de milieux linéaires, on a :

$$\vec{P} = \epsilon_0 [\chi_e] \vec{E}$$

 $ec{P}=\epsilon_0[\chi_e]ec{E}$ susceptibilité électrique : $[\chi_e]$

$$\vec{D} = \epsilon_0 (1 + [\chi_e]) \vec{E}$$

 $\vec{D} = \epsilon_0 (1 + [\chi_e]) \vec{E}$ perméabilité $\epsilon = \epsilon_0 (1 + [\chi_e])$

Dans un cristal, D et E ne sont pas colinéaires (biréfringence)

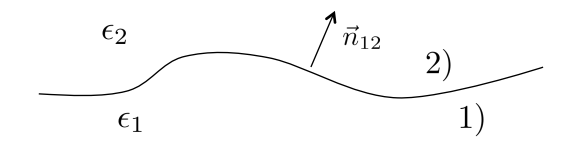
Milieu linéaire isotrope $\vec{D} = \epsilon \ \vec{E}$

Perméabilité relative : $\epsilon_r = 1 + \chi_e$

Gaz (1 bar)
$$\chi_e \sim 10^{-3}$$

Milieux denses $\chi_e \sim 1-100$

2 – Relations de passage entre deux milieux diélectriques



Relations de passage :

$$(\vec{D}_2 - \vec{D}_1) \cdot \vec{n}_{12} = \sigma_{\text{libre}}$$

$$(\vec{B}_2 - \vec{B}_1) \cdot \vec{n}_{12} = 0$$

$$\vec{E}_{\parallel \, 2} - \vec{E}_{\parallel \, 1} = \vec{0}$$

$$ec{H}_{\parallel,2} - ec{H}_{\parallel,1} = ec{J_s} imes ec{n}_{12}$$

Appliqué au cas de diélectriques LHI:

$$(\epsilon_2 \vec{E}_1 - \epsilon_1 \vec{E}_1) \cdot \vec{n}_{12} = \sigma_{\text{libre}}$$

$$\vec{E}_{\parallel,2} - \vec{E}_{\parallel,1} = \vec{0}$$

Ch 1 – Milieux diélectriques

3 – Résoudre un problème d'électrostatique

Que valent les champs dans tout l'espace en présence d'un diélectrique ? Pb à champ imposé (loin), potentiel imposé, charges imposées ...

<u>Méthode rigoureuse :</u>
i) Trouver la forme de la solution

$$\vec{\nabla} \cdot (\epsilon \vec{\nabla} V) = 0$$

- ii) Raccorder loin de l'objet (si besoin) $-\vec{\nabla}V = \vec{E}_{\infty}$
- iii) Utiliser les relations de passage pour raccorder aux interfaces

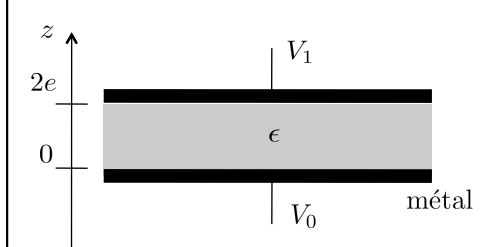
Méthode perturbative (champ imposé):

$$ec{E}=ec{E}_0+ec{E}_1+ec{E}_2+\dots \qquad \qquad ec{E}_0=ec{E}_{\infty} \qquad \qquad ec{P}=\epsilon_0\chi_eec{E} \ ec{P}=ec{P}_1+ec{P}_2+\dots \qquad \qquad ec{P}_i=\epsilon_0\chi_eec{E}_{i-1}$$

Il faut calculer $ec{E}_{i+1}$ connaissant $ec{P}_i$

P1 est uniforme, mais pas les ordres supérieurs (sauf sphère et plaque plane)

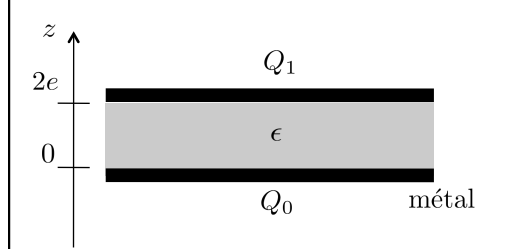
3.A - application au condensateur, potentiel imposé



- 1) Calculer le champ dans le condensateur
- 2) Calculer la capacité du condensateur $Q_0 = C(V_0 V_1) \label{eq:Q0}$

Ch 1 – Milieux diélectriques

3.B – application au condensateur, charges imposées



- 1) Calculer le champ dans le condensateur sans diélectrique.
- 2) Calculer le champ avec le diélectrique.
- 3) Retrouver la capacité du condensateur

V - Régimes variables

1 – Susceptibilité complexe (milieu linéaire et isotrope)

La permitivité dépend de la fréquence

On introduit les TF des champs E et P

$$\vec{E}(\vec{r},t) = \frac{1}{\sqrt{2\pi}} \int_{-\infty}^{\infty} \vec{E}_{\omega}(\vec{r}) e^{i\omega t} d\omega \qquad \vec{P}(\vec{r},t) = \frac{1}{\sqrt{2\pi}} \int_{-\infty}^{\infty} \vec{P}_{\omega}(\vec{r}) e^{i\omega t} d\omega$$

Attention : $\vec{P}_{\omega}(\vec{r})$ $\vec{E}_{\omega}(\vec{r})$

La relation reste simple entre composantes de Fourier

$$\vec{P}_{\omega}(\vec{r}) = \epsilon_0 \ \underline{\chi_e}(\vec{r}, \omega) \ \vec{E}_{\omega}(\vec{r})$$

$$\underline{\chi_e} = \underline{\chi_e}' + i\underline{\chi_e}''$$

$$\underline{\epsilon_r} = 1 + \underline{\chi_e}$$

$$\underline{\epsilon_r} = \underline{\epsilon_r}' + i\underline{\epsilon_r}''$$

La relation reste locale entre les champs

Ch 1 – Milieux diélectriques

2 - Réponse à un champ polychromatique

Dans le cadre de la réponse linéaire, la relation est une convolution

$$\vec{P}(\vec{r},t) = \frac{\epsilon_0}{\sqrt{2\pi}} \int_{-\infty}^{t} \vec{E}(\vec{r},\tau) G(\vec{r},t-\tau) d\tau$$

La valeur de P dépend des valeurs de E aux instants antérieurs

G est la fonction réponse, liée à la susceptibilité complexe

$$\underline{\chi_e}(\omega) = \frac{1}{\sqrt{2\pi}} \int_0^{+\infty} G(\tau) e^{-i\omega\tau} d\tau$$

Il existe un lien entre les parties réelle et imaginaire (Kramers-Kronig)

$$\chi'_e(\omega) = \frac{1}{\sqrt{2\pi}} \int_0^{+\infty} G(\tau) \cos(\omega \tau) d\tau \qquad \qquad \chi''_e(\omega) = \frac{1}{\sqrt{2\pi}} \int_0^{+\infty} G(\tau) \sin(\omega \tau) d\tau$$

Vérifier la relation sur le particulier d'un système d'ordre 1 :

$$au_p rac{d \vec{P}}{dt} + \vec{P} = \epsilon_0 \chi_0 \vec{E}$$
 Mécanisme valable pour la polarisation d'orientation

Résolution dans l'espace de Fourier :

Résolution directe dans l'espace physique :

Ch 1 – Milieux diélectriques

3 - Considérations énergétiques

Extension du théorème de Poynting

Bilan de puissance transmise aux charges libres : $~\mathcal{P}_v = - ec{J}_{
m libre} \cdot ec{E}$

$$ec{E} \cdot rac{\partial ec{D}}{\partial t} + ec{H} \cdot rac{\partial ec{B}}{\partial t} + ec{
abla} \cdot \left(ec{E} imes ec{H}
ight) = -ec{J}_{
m libre} \cdot ec{E}$$

Dans le vide : $\vec{E} \cdot \frac{\partial \vec{D}}{\partial t} + \vec{H} \cdot \frac{\partial \vec{B}}{\partial t} = \frac{\partial u_{em}}{\partial t}$ $u_{em} = \frac{\epsilon_0 E^2}{2} + \frac{B^2}{2\mu_0}$

$$u_{em} = \frac{\epsilon_0 E^2}{2} + \frac{B^2}{2\mu_0}$$

Dans un diélectrique (non magnétique) la situation est plus complexe :

Vecteur de Poynting : $\vec{R} = \vec{E} \times \vec{H} \simeq \frac{1}{\mu_0} \vec{E} \times \vec{B}$

On n'a pas en toute généralité : $\ \vec{D}(\vec{r},t) = [\epsilon] \ \vec{E}(\vec{r},t)$

Il faut que la permittivité soit une constante (champ quasi-statique), ou que la gamme de fréquence soit réduite (quasi-monochromatique)

 ${\rm Alors}: \ u_{em} \simeq \frac{\epsilon E^2}{2} + \frac{B^2}{2u_0}$